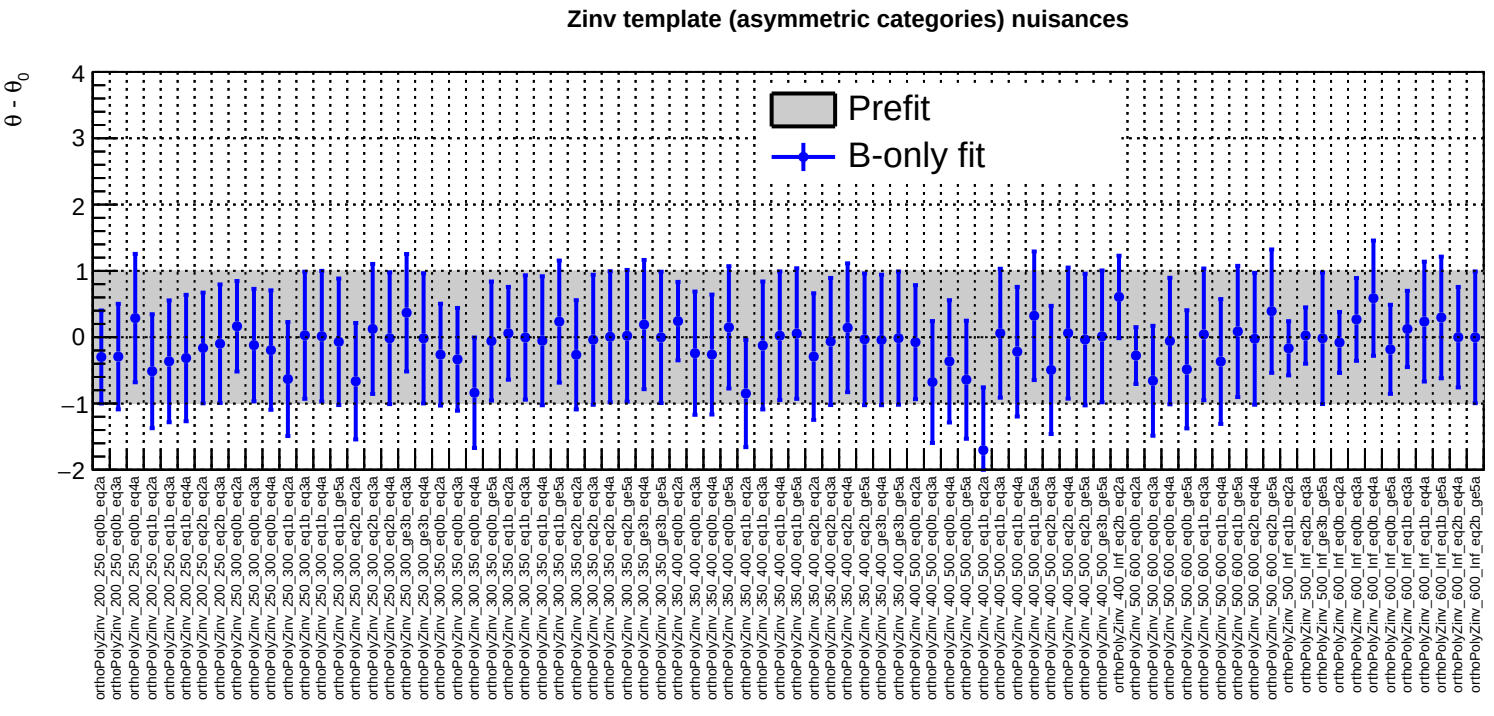
Zinv template (asymmetric categories) nuisances
θ - θ0
Prefit
B-only fit
4
3
2
1
0
−1
−2
orthoPolyZinv_200_250_eq0b_eq2a
orthoPolyZinv_200_250_eq0b_eq3a
orthoPolyZinv_200_250_eq0b_eq4a
orthoPolyZinv_200_250_eq1b_eq2a
orthoPolyZinv_200_250_eq1b_eq3a
orthoPolyZinv_200_250_eq1b_eq4a
orthoPolyZinv_200_250_eq2b_eq2a
orthoPolyZinv_200_250_eq2b_eq3a
orthoPolyZinv_250_300_eq0b_eq2a
orthoPolyZinv_250_300_eq0b_eq3a
orthoPolyZinv_250_300_eq0b_eq4a
orthoPolyZinv_250_300_eq1b_eq2a
orthoPolyZinv_250_300_eq1b_eq3a
orthoPolyZinv_250_300_eq1b_eq4a
orthoPolyZinv_250_300_eq1b_ge5a
orthoPolyZinv_250_300_eq2b_eq2a
orthoPolyZinv_250_300_eq2b_eq3a
orthoPolyZinv_250_300_eq2b_eq4a
orthoPolyZinv_250_300_ge3b_eq3a
orthoPolyZinv_250_300_ge3b_eq4a
orthoPolyZinv_300_350_eq0b_eq2a
orthoPolyZinv_300_350_eq0b_eq3a
orthoPolyZinv_300_350_eq0b_eq4a
orthoPolyZinv_300_350_eq0b_ge5a
orthoPolyZinv_300_350_eq1b_eq2a
orthoPolyZinv_300_350_eq1b_eq3a
orthoPolyZinv_300_350_eq1b_eq4a
orthoPolyZinv_300_350_eq1b_ge5a
orthoPolyZinv_300_350_eq2b_eq2a
orthoPolyZinv_300_350_eq2b_eq3a
orthoPolyZinv_300_350_eq2b_eq4a
orthoPolyZinv_300_350_eq2b_ge5a
orthoPolyZinv_300_350_ge3b_eq4a
orthoPolyZinv_300_350_ge3b_ge5a
orthoPolyZinv_350_400_eq0b_eq2a
orthoPolyZinv_350_400_eq0b_eq3a
orthoPolyZinv_350_400_eq0b_eq4a
orthoPolyZinv_350_400_eq0b_ge5a
orthoPolyZinv_350_400_eq1b_eq2a
orthoPolyZinv_350_400_eq1b_eq3a
orthoPolyZinv_350_400_eq1b_eq4a
orthoPolyZinv_350_400_eq1b_ge5a
orthoPolyZinv_350_400_eq2b_eq2a
orthoPolyZinv_350_400_eq2b_eq3a
orthoPolyZinv_350_400_eq2b_eq4a
orthoPolyZinv_350_400_eq2b_ge5a
orthoPolyZinv_350_400_ge3b_eq4a
orthoPolyZinv_350_400_ge3b_ge5a
orthoPolyZinv_400_500_eq0b_eq2a
orthoPolyZinv_400_500_eq0b_eq3a
orthoPolyZinv_400_500_eq0b_eq4a
orthoPolyZinv_400_500_eq0b_ge5a
orthoPolyZinv_400_500_eq1b_eq2a
orthoPolyZinv_400_500_eq1b_eq3a
orthoPolyZinv_400_500_eq1b_eq4a
orthoPolyZinv_400_500_eq1b_ge5a
orthoPolyZinv_400_500_eq2b_eq3a
orthoPolyZinv_400_500_eq2b_eq4a
orthoPolyZinv_400_500_eq2b_ge5a
orthoPolyZinv_400_500_ge3b_ge5a
orthoPolyZinv_400_inf_eq2b_eq2a
orthoPolyZinv_500_600_eq0b_eq2a
orthoPolyZinv_500_600_eq0b_eq3a
orthoPolyZinv_500_600_eq0b_eq4a
orthoPolyZinv_500_600_eq0b_ge5a
orthoPolyZinv_500_600_eq1b_eq2a
orthoPolyZinv_500_600_eq1b_eq3a
orthoPolyZinv_500_600_eq1b_eq4a
orthoPolyZinv_500_600_eq1b_ge5a
orthoPolyZinv_500_600_eq2b_eq2a
orthoPolyZinv_500_600_eq2b_eq4a
orthoPolyZinv_500_600_eq2b_ge5a
orthoPolyZinv_500_inf_eq1b_eq2a
orthoPolyZinv_500_inf_eq2b_eq3a
orthoPolyZinv_500_inf_ge3b_ge5a
orthoPolyZinv_600_inf_eq0b_eq2a
orthoPolyZinv_600_inf_eq0b_eq3a
orthoPolyZinv_600_inf_eq0b_eq4a
orthoPolyZinv_600_inf_eq0b_ge5a
orthoPolyZinv_600_inf_eq1b_eq3a
orthoPolyZinv_600_inf_eq1b_eq4a
orthoPolyZinv_600_inf_eq1b_ge5a
orthoPolyZinv_600_inf_eq2b_eq4a
orthoPolyZinv_600_inf_eq2b_ge5a